

硬弹性丙纶的结构特征

戚慰先 仲蕾兰 刘世英 刘志平 于述强 郑万华
(中国纺织大学)

【提要】硬弹性是结晶高聚物在特殊的加工条件下产生的一种独特的性能，具有高模量、高结晶度和高形变下回复的特点。试验发现，硬弹性丙纶的双折射和声速取向因子与拉伸比之间存在一个极小值；而晶区取向因子和拉伸比的关系中，却是一种单调的递增趋势。试验证实，在硬弹纤维中存在着一定数量的微孔，可用微孔分数(或微孔增长率)定量表征。上述结论由透射电镜观察得到了进一步证明。因此，硬弹性丙纶中的微孔是规整化片晶之外的又一重要的结构特征。

高聚物的弹性包括普弹形变及高弹形变，其中高弹形变为高分子材料所特有，它的形变比很大，这种弹性又称作橡胶弹性，其本质为大分子链构象的变化，从热力学分析，属于熵弹性。然而，在六十年代发现某些结晶高聚物在特定的加工条件下，它们的薄膜或纤维能呈现出相当高的形变回复性能，为区别通常的橡胶弹性，定义这种弹性为“硬弹性”(hard elastic)^[1~2]。

对于高聚物硬弹性的研究工作迄今为止，主要包括两个方面，一方面是产生硬弹性的必要条件^[2]；另一方面则从硬弹材料的力学性能出发，进一步分析硬弹性的本质^[2~3]。本文的目的是通过研究聚丙烯硬弹纤维的取向特点，探索硬弹纤维的结构特征。

一、实验

1. 试样制备

原料为北京向阳化工厂纤维级聚丙烯切片。试样A按硬弹丝处理顺序^[4]制得，试样B为常规生产的聚丙烯纤维。

2. 实验方法

(1) 应力-应变曲线：在国产的YG-001型单纤维电子强力仪上测定。试样长度10毫米，拉伸速度60毫米/分。

(2) 弹性回复率(%)：在YG-002型单纤

维电子强力仪上测定。试样长度10毫米，下降速度20毫米/分，定伸长50%、100%。弹性回复率按下式计算：

$$\text{弹性回复率}(\%) = [(\text{试样伸长} - \text{不可逆形变}) / \text{试样伸长}] \times 100$$

(3) 双折射(Δn)：在国产XPC型偏光显微镜上，按色那蒙补偿法测定。

(4) 声速取向因子(f_s)：用中国纺大自制的PPM型声速仪测得。纤维负荷0.0088牛/特、声脉冲为20千赫。声速C(千米/秒)和声速取向因子 f_s 分别按下列公式计算：

$$C = (L \times 10^{-3}) / ((t - \Delta t) \times 10^{-6})$$

$$f_s = 1 - (Cu^2 / C^2)$$

式中： L 为试样长度(米)； t 为频率读数(微秒)； Δt 为延迟时间(微秒)； Cu 为无规取向纤维的声速值；本试验取1.1千米/秒(由外推法求得)。

(5) 晶区取向因子(f_c)，采用日本的 Rigaku Denki 2077型X光衍射仪，对纤维试样的(110)和(040)面方位角进行扫描。工作电压40千伏，工作电流15毫安，晶区取向因子可按下式计算：

$$\cos^2\varphi(h, k, L)_c = \frac{\int_0^{\pi/2} I(\rho) \cos^2\rho \sin\rho d\rho}{\int_0^{\pi/2} I(\rho) \sin\rho d\rho}$$

$$\cos^2 r = 1 - 1.0999 \cos^2 \varphi_{110..z}$$

$$- 0.901 \cos^2 \varphi_{040..z}$$

$$f_c = (3 \cos^2 r - 1) / 2$$

式中: $\varphi_{(h, k, L)z}$ 为 (h, k, L) 面的法线与纤维轴的夹角; ρ 为方位角; $I(\rho)$ 为方位角 ρ 的衍射强度。 r 为结晶 c 轴与纤维轴的夹角。

(6) 表面形态: 用国产透射式电子显微镜。

(7) 密度: 采用密度梯度法, 混合液为异丙醇和水, 温度 $30^\circ\text{C} \pm 1$ 。

(8) 表观密度(da): 取一定长度的纤维称重, 并分别测定各根单丝的直径, 取平均值。表观密度按下式计算:

$$da = 4w/n\pi d^2 L$$

式中: w 为纤维(束)重量(克); L 为纤维长度(厘米); n 为单丝根数; d 为单丝的平均直径(厘米)。

二、结果与讨论

1. 硬弹纤维的表征

在高应力下纺丝的纤维, 经折叠链片晶规整化处理后即可得到所要求的硬弹性。试样 A 的纺丝应力高, 经硬弹处理, 其结晶度为 69.52%、双折射为 0.025; 试样 B 的纺丝应力低, 未经硬弹处理, 其结晶度为 45.64%, 双折射为 0.0025。由此可见, 经硬弹处理后, 纤维的结晶度和双折射均有明显提高。

如果将已经具有硬弹性质的纤维, 进一步经过适当的拉伸或定型, 纤维的弹性将得到改善和提高。

图 1 和 2 分别为试样 A 和 B 的应力-应变曲线和伸长回复曲线。由图看出, 两种试样的力学性质是截然不同的, 试样 A 的应力-应变曲线上具有两个屈服点, 伸长率非常大; 而弹性回复又相当高, 在小于 100% 的定伸长下, 其弹性回复可达到 90% 左右。

2. 取向变化

(1) 双折射 Δn : 由图 3 中试样 A 和 B 的 Δn 与拉伸比(R)的关系可知, 试样 B 的双折

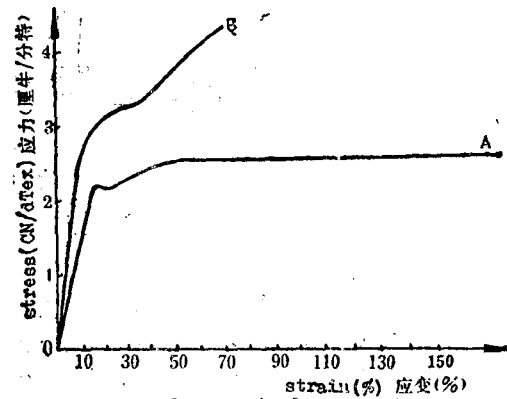


Fig. 1 Stress-strain curve
A—hard elastic sample. B—normal sample.
(same in fig. 3~6)

图 1 应力-应变曲线

A—硬弹试样; B—非硬弹试样(图 3~6 同)。

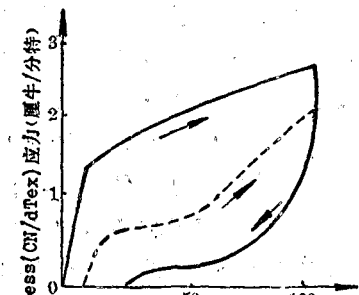


Fig. 2 Stretch recover curve of hard elastic sample

图 2 硬弹试样的拉伸回复曲线

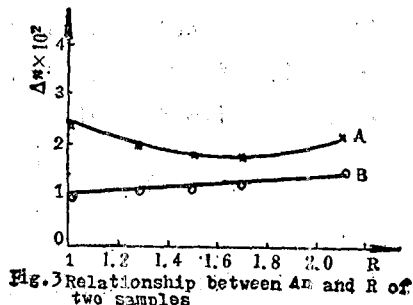


Fig. 3 Relationship between Δn and R of two samples

图 3 两种试样的 Δn 与 R 的关系

射随拉伸比的增加而变大, 这是一般化学纤维的共同规律; 而试样 A 的 Δn 有着明显不同的变化规律, 在形变的开始阶段, Δn 逐渐减小, 当拉伸比超过 1.7~1.8 时, 又重新增加, 整个曲线出现一个极小值。

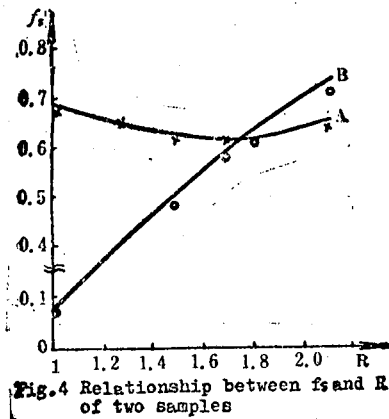


图4 两种试样的 f_s 与 R 的关系

(2) 声速取向因子 (f_s): 两种聚丙烯纤维的 f_s 和拉伸比的关系基本上和双折射 ~ 拉伸比的变化规律相似(见图 4)。试样 A 在拉伸比为 1.7~1.8 时, 在 f_s ~ R 曲线上出现一个极小值; 而试样 B 则表现为递增的趋势。

(3) 晶区取向因子 (f_c): 试样 A 和 B 的结晶取向因子对拉伸比的关系见图 5, 试样 A 的结晶取向因子随拉伸比的增大而增加。总的趋势和试样 B 相同, 它们之间的主要差别在于试样 A 的 f_c 起始值远高于试样 B, 前者接近 0.94, 后者仅为 0.36。因此, 试样 A 的 f_c 随拉伸比增加而增加的幅度较小, 且容易趋于饱和。

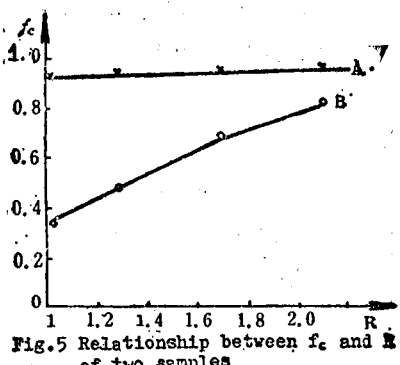


图5 两种试样的 f_c 与 R 的关系

从上述三种取向因子的变化规律中可得到启示: 由于硬弹纤维和常规纤维的 f_c 变化趋势并无两样, 可以推论, 这部分结构因子

对硬弹纤维的弹性特征不一定有直接关系, 与此相反, 硬弹纤维的 Δn 和 f_c 的变化规律与常规纤维有明显差异, 表明在它们中间极有可能包含着和硬弹特征密切相关的因素。

纤维的双折射和声速取向因子均是表征纤维中各种取向单元的总和, 所不同的是双折射主要和链段长度相联系, 而声速则主要同大分子链有关。按通常的理解, 在 Δn 和 f_c 中包含了晶区和非晶区的取向贡献, 但假如根据上述实验结果, 将得到硬弹纤维中非晶区取向随纤维拉伸增加反而变小的结论, 那显然是矛盾的, 也是十分有害的。事实上, 在总体双折射 Δn 中, 除了晶区双折射 Δn 和非晶区双折射 Δn 外, 还应包含试样的形态双折射 Δn_f , Δn 和 f_c 、 f_s 及 Δn_f 之间有以下关系式:

$$\Delta n = \beta \Delta_c^* f_c + (1 - \beta) \Delta_a^* f_s + \Delta n_f$$

式中: β 为结晶度, Δ_c^* 和 Δ_a^* 为聚丙烯的晶区及无定形部分的特征双折射, 数值分别为 33.1×10^{-3} 和 46.8×10^{-3} ^[5]; f_s 为聚丙烯无定形区的取向。

在常规的纤维中, Δn_f 接近于零, 可以忽略不计。对硬弹纤维而言, 由于硬弹纤维的加工条件颇为独特, Δn_f 反映材料内部的缝隙和空洞^[6~9], 以致在纤维的双折射与拉伸比的关系中出现不同于常规变化的趋势。基于同样的分析, 硬弹纤维的声速取向因子也呈现出不同寻常的规律。

上述的推测在纤维密度和电子显微镜观察中得到了进一步的证实。

3. 密度

采用两种方法表征硬弹纤维的密度, 一

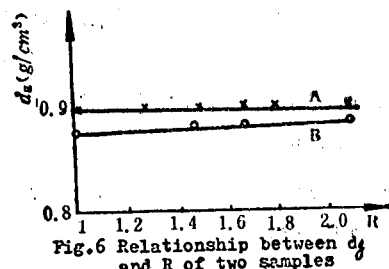


图6 两种试样的 d_g 与 R 的关系

种是常用的密度梯度管法，用 d_g 表示；另一种是通过测定纤维直径和重量，求得纤维密度，称之为表观密度，用 d_a 表示。

图6为试样A和B的 d_g 对拉伸比的关系曲线。由图可见，试样A和B的密度变化趋势不同，试样B的密度随拉伸比的增加而加大；而试样A恰恰相反。这意味着在硬弹纤维中出现了微孔。但由于纤维中的微孔大小和分布的不均一性，在测定时，溶剂分子进入纤维内部的机率不一。从密度梯度法测得的结果只能表明在硬弹纤维中存在微孔，还不能确切反映微孔变化的规律。

试样A的表观密度随着拉伸比增加，在开始阶段逐渐减小，当拉伸比达1.7~1.8时， d_a 出现最低值（纤维内包含的微孔比例最高），继后，有所增加，但仍小于纤维起始的密度值（见图7）。这种变化规律和双折射、声速取向因子完全吻合。

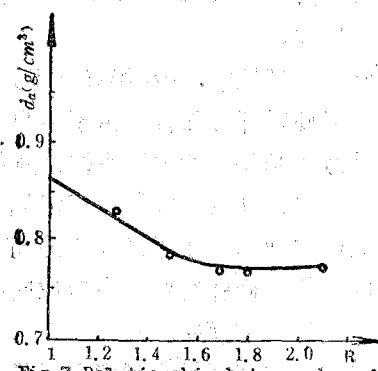


图7 硬弹纤维的 d_a 与R的关系

4. 微孔大小

图8是试样A在不同拉伸比下的透射电子显微镜照片。从图8中，不但硬弹纤维内的微孔清晰可辨，而且也证实了硬弹纤维中的微孔大小随拉伸比而变化。拉伸比为1.8的微孔直径与拉伸比为1.2的直径之比为2:1。

5. 微孔分数

假设纤维在拉伸过程中没有相变发生，这对于聚丙烯纤维来说，基本上是正确的，因



Fig. 8 Transmissive electric microscopic photo of hard elastic fibre under different stretching

图8 硬弹纤维在不同拉伸比下的透射电
子显微镜照片($\times 37600$)

$$a-R=1.27; b-R=1.8.$$

为聚丙烯纤维在拉伸过程中结晶度的增加很小，主要是取向度的变化。并认为硬弹纤维密度的降低完全是由于微孔所造成的。因此，对于质量为m的纤维，当产生微孔后，纤维的体积从 V_0 变化到V，相应的表观密度则从 d_0 变化到 d_a 。纤维中体积增加的部分($V - V_0 = \Delta V$)可看作是纤维内微孔的贡献。

根据以上假设，可分别定义微孔增长率和微孔分数：

$$\text{微孔增长率 } (H)\% = (V - V_0) \times 100\% / V_0 = ((d_0/d_a) - 1) \times 100\%$$

$$\text{微孔分数 } (\varphi)\% = (V - V_0) \times 100\% / V = (1 - (d_a/d_0)) \times 100\%$$

试样A的微孔增长率与微孔分数对拉伸比的关系曲线见图9。由图可见，硬弹聚丙

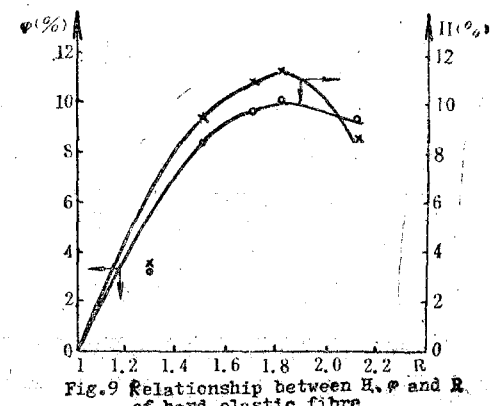


图9 硬弹纤维的H、 φ 对R的关系

烯纤维的微孔数量随拉伸比的提高而增加，在拉伸比为1.8倍时，出现极大值，以后又开始逐渐减少。在本试验条件下，硬弹聚丙烯纤维中的微孔分数最高可达10%以上。这表明，在聚丙烯硬弹纤维的结构中，除了前人工作中所讨论的片晶特点外，微孔也是主要的特征之一，其必定要涉及到硬弹纤维的弹性优劣。同时，从试验结果也说明，硬弹纤维中微孔的数量明显受到工艺因素的影响，拉伸条件应是其中重要的调节手段。

三、结 论

1. 聚丙烯硬弹纤维的总体取向(Δn 和 f_s)和拉伸比的关系明显区别于常规纤维。在拉伸的起始阶段， Δn 与 f_s 逐渐减小，当达到最小值后再逐渐增加。

2. 聚丙烯硬弹纤维中存在着相当数量的微孔，它是和规整化片晶同时存在的又一主要结构特征。为反映微孔对纤维密度的影

响，应采用表观密度为宜。

3. 本文中定义的微孔分数能用来定量表征硬弹纤维中微孔的数量。

4. 聚丙烯硬弹纤维的微孔大小和数量受其加工条件的制约，其中拉伸条件是重要的调节手段。微孔分数和拉伸比之间存在着一个最大值。

参 考 资 料

- [1] «Collid Polymer Sci», 1975, 253, p. 824.
- [2] «J. Polymer, Sci», 1976, Vol 11, p.209~275.
- [3] «J. Macromol, Sci-phys», 1973, 138 (1-2), p. 157.
- [4] «T. R. J», 1976, No. 7, p. 467~478.
- [5] «J. Apply. polymer. Sci», 1983, Vol. 28, p.179~189.
- [6] «Polymer Eng Sci». 1976, Vol. 16, No. 3, p.126~137.
- [7] «J. Polymer Sci», 1976, Vol. 14, p. 603~618.
- [8] «Химические Волокна», 1983, No.4, p. 12~14 (苏).
- [9] «J. Polymeric Mater», 1979, Vol. 7, p.57~82.